

$$[B_2][U_1] = [B_1][U_1] + [B'][U_1] \\ = [P] + [B'][U_1] \quad (4)$$

(4)式の右辺の第2項 $[B'][U_1]$ が Remainder で、この Remainder を I の構造物に作用させて、変位 $[U_1]$ を求めますと、

$$[B_1][U_1] = [B'][U_1]$$

$[B_1]^{-1}$ を、両辺の左から作用させ

$$[U_1] = [B_1]^{-1}[B'][U_1] \\ = [C][U_1] \quad (5)$$

となり、これが(3)式の第2項に相当する。

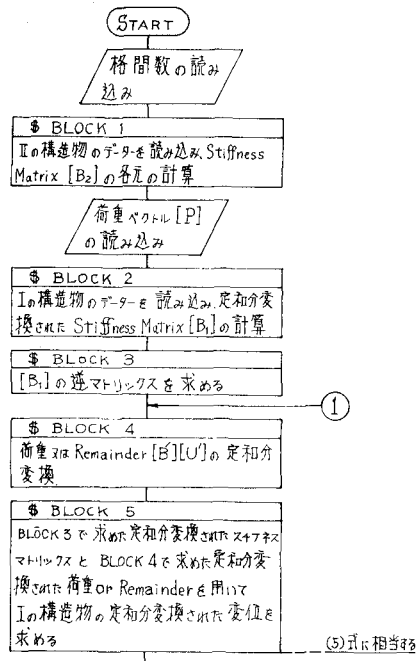
以上を繰返すことは、I の構造物を解き、その変位を II の構造物に代入し、つり合いの計算をして Remainder 外力を求め、これを I の構造物に作用させて、逐次(3)の各項を計算することを意味する。

3. 数値計算

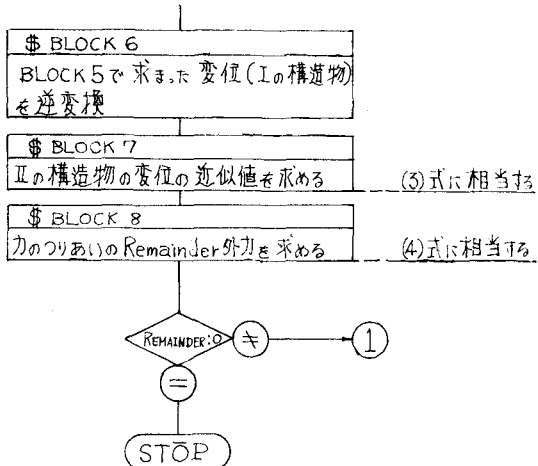
平行弦ワーレントラスは、Fourier 定和分変換をほどこし、スチフネスマトリックスを 4×4 元に落して、計算を行なう。

Fourier 定和分変換公式は

Symbolic Notation



図一1(1)



図一1(2)(続)

$$S_i[f(x)] = \sum_{x=1}^{n-1} f(x) \sin \frac{\pi i x}{n} \\ C_i[f(x)] = \sum_{x=1}^{n-1} f(x) \cos \frac{\pi i x}{n} \\ H S_i \left[f\left(x + \frac{1}{2}\right) \right] = \sum_{x=0}^{n-1} f\left(x + \frac{1}{2}\right) \sin \frac{\pi i}{n} \left(x + \frac{1}{2}\right) \\ H C_i \left[f\left(x + \frac{1}{2}\right) \right] = \sum_{x=0}^{n-1} f\left(x + \frac{1}{2}\right) \cos \frac{\pi i}{n} \left(x + \frac{1}{2}\right)$$

を導入すると、逆変換公式は

$$f(x) = -\frac{2}{n} \sum_{i=1}^{n-1} S_i[f(x)] \sin \frac{\pi i x}{n} \quad (0 < x < n)$$

$$f(x) = \sum_{i=0}^n R_i \cos \frac{\pi i x}{n} \quad (0 \leq x \leq n)$$

ただし

$$R_o = \frac{1}{n} \left\{ C_o[f(x)] + \frac{f(0)}{2} + \frac{f(n)}{2} \right\}$$

$$\begin{aligned}
\mathbf{R}_i &= \frac{2}{n} \left\{ \mathbf{C}_i [f(x)] + \frac{f(0)}{2} + (-1)^i \frac{f(n)}{2} \right\} \\
\mathbf{R}_n &= \frac{1}{n} \left\{ \mathbf{C}_n [f(x)] + \frac{f(0)}{2} + (-1)^n \frac{f(n)}{2} \right\} \\
f\left(x + \frac{1}{2}\right) &= \frac{2}{n} \sum_{i=1}^{n-1} \mathbf{H} \mathbf{S}_i \left[f\left(x + \frac{1}{2}\right) \right] \sin \frac{\pi i}{n} \left(x + \frac{1}{2} \right) \\
&\quad + \frac{1}{n} \mathbf{H} \mathbf{S}_n \left[f\left(x + \frac{1}{2}\right) \right] (-1)^x \\
f\left(x + \frac{1}{2}\right) &= \frac{2}{n} \sum_{i=1}^{n-1} \mathbf{H} \mathbf{C}_i \left[f\left(x + \frac{1}{2}\right) \right] \cos \frac{\pi i}{n} \left(x + \frac{1}{2} \right) \\
&\quad + \frac{1}{n} \mathbf{H} \mathbf{C}_n \left[f\left(x + \frac{1}{2}\right) \right]
\end{aligned}$$

Hook's law と格点 r , $r + \frac{1}{2}$ での水平力, 鉛直力のつり合いから、

格点力と変位の差分方程式ができ、それに格点 r については、水平

方向のつり合い式に cosine 変換を、鉛直方向に sine 変換を、また、格点 $r + \frac{1}{2}$ においては、水平方向のつり合い式に half cosine 変換を、鉛直方向に half sine 変換をほどこすと、次の 4×4 元の対称マトリックス方程式が、なりたち、これは2.の(1)式に相当するものです。

$$\left\{
\begin{array}{lll}
\frac{EA_l}{l} \cdot D_i + 2 \frac{EA_d}{d} \cos^2 \alpha & 0 & -\frac{2EA_d}{d} \cdot \cos^2 \alpha \cdot \cos \frac{\pi i}{2n} & 2 \frac{EA_d}{d} \cdot \cos \alpha \cdot \\
& 2 \frac{EA_d}{d} \cdot \sin^2 \alpha & -\frac{2EA_d}{d} \sin \alpha \cos \alpha \cdot \sin \frac{\pi i}{2n} & -2 \frac{EA_d}{d} \cdot \\
& \frac{EA_u}{l} D_i + 2 \frac{EA_d}{d} \cdot \cos^2 \alpha & 0 & 2 \frac{EA_d}{d} \sin^2 \alpha
\end{array}
\right.$$

Symmetry

$$\left\{
\begin{array}{l}
\sin \alpha \cdot \sin \frac{\pi i}{2n} \\
\sin^2 \alpha \cdot \cos \frac{\pi i}{2n}
\end{array}
\right\}
\left\{
\begin{array}{l}
\tilde{u}_i \\
\tilde{v}_i \\
\bar{u}_i \\
\bar{v}_i
\end{array}
\right\}
\left\{
\begin{array}{l}
\tilde{H}_i + H_0 + (-1)^i H_n \\
\tilde{P}_i \\
\bar{H}_i \\
\bar{P}_i
\end{array}
\right\}$$

ここで、 n は格間数

$$\tilde{u}_i = \mathbf{C}_i[u_r] + \frac{u_0}{2} + \frac{u_n}{2} (-1)^i \quad \tilde{v}_i = \mathbf{S}_i[v_r]$$

$$\bar{u}_i = \mathbf{H} \mathbf{C}_i[u_{r+\frac{1}{2}}] \quad \bar{v}_i = \mathbf{H} \mathbf{S}_i[v_{r+\frac{1}{2}}]$$

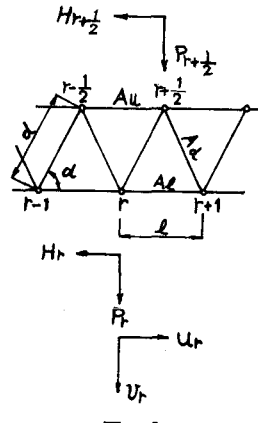
$$\tilde{H}_i = \sum_{r=1}^{n-1} H_r \cos \frac{\pi i r}{n} \quad \tilde{P}_i = \sum_{r=1}^{n-1} P_r \sin \frac{\pi i r}{n}$$

$$\bar{H}_i = \sum_{r=0}^{n-1} H_{r+\frac{1}{2}} \cos \frac{\pi i}{n} \left(r + \frac{1}{2} \right)$$

$$\bar{P}_i = \sum_{r=0}^{n-1} P_{r+\frac{1}{2}} \sin \frac{\pi i}{n} \left(r + \frac{1}{2} \right)$$

数値計算は、格間数 5 と 10 の場合で行なった。

図中で ratio とは、平行弦、曲弦トラスの upper, lower, diagonal chord の断面積をその部材長で除したもの、



図—2

それぞれの平均値の比である。

図—3, 7 は、繰返し回数毎の、外力のつりあいの Remainder をプロットしたものであるが、繰返す度毎に

力のつりあいの
Remainder外力(絶対値)in ton

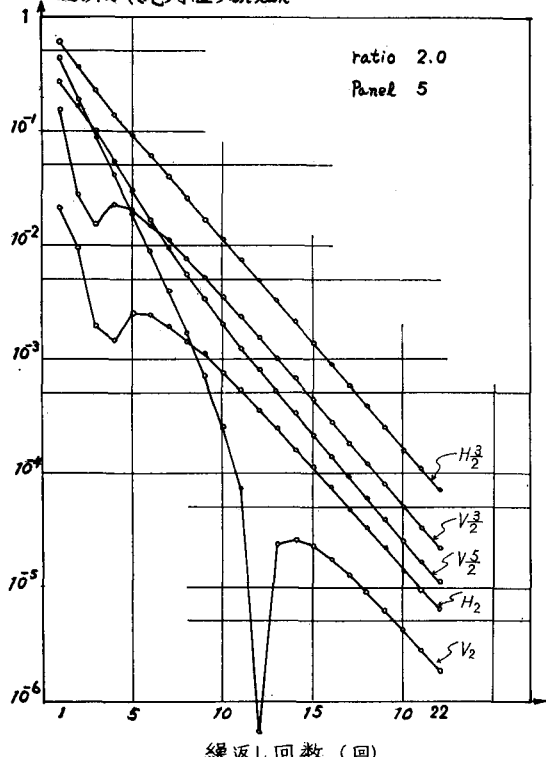


図-3 ratio 2.0 の場合の各格点の Remainder の減少の様子

小さくなってゆく、即ち、収斂しているのがわかる。しかし、図-5、9は、それぞれ異なる ratio のある格点の Remainder であるが、その図からは収斂の最も速い ratio が存在することがわかる。

これらの図から、解析すべき構造物Ⅱにトポロジカル一致する構造物を考えると、いかなるものでも、収斂するということではなく、ある剛性の ratio の範囲内に限定

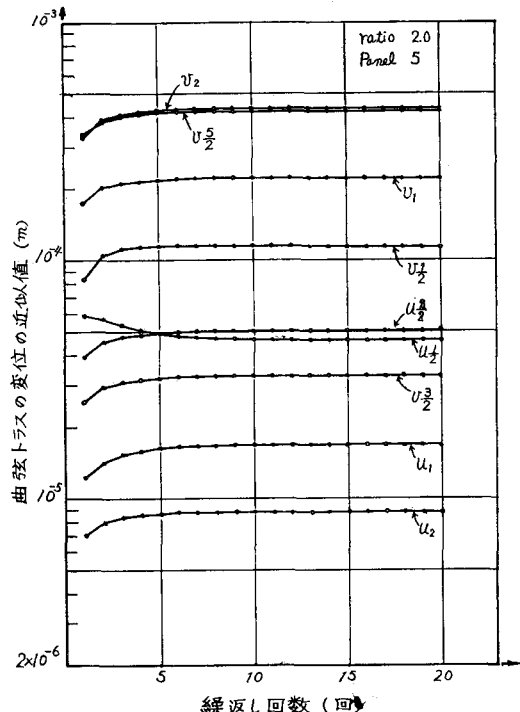


図-4 Panel 5 の曲弦トラスの変位の近似値と繰返し回数

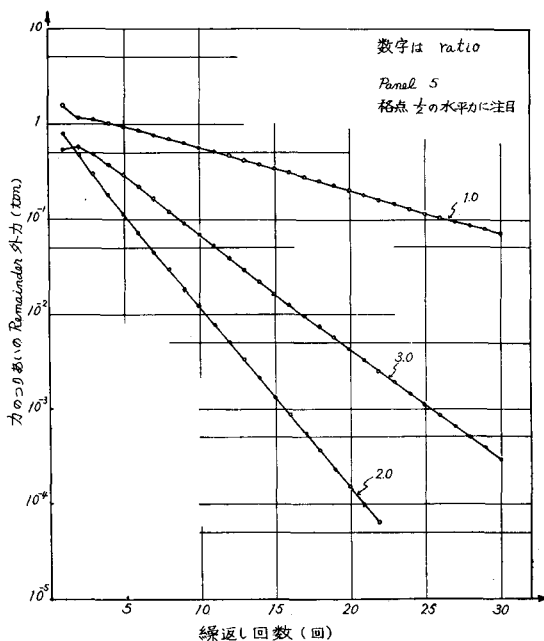


図-5 ratio の違いによる収斂性の相異

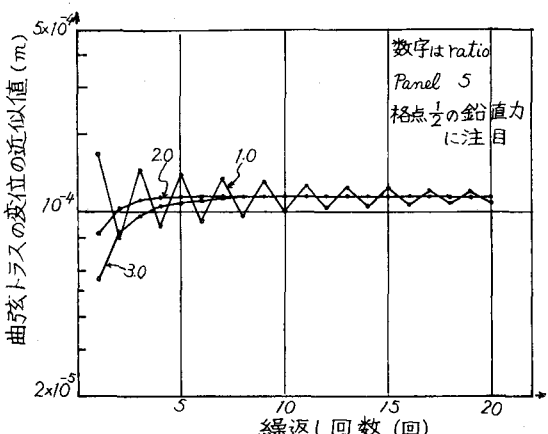
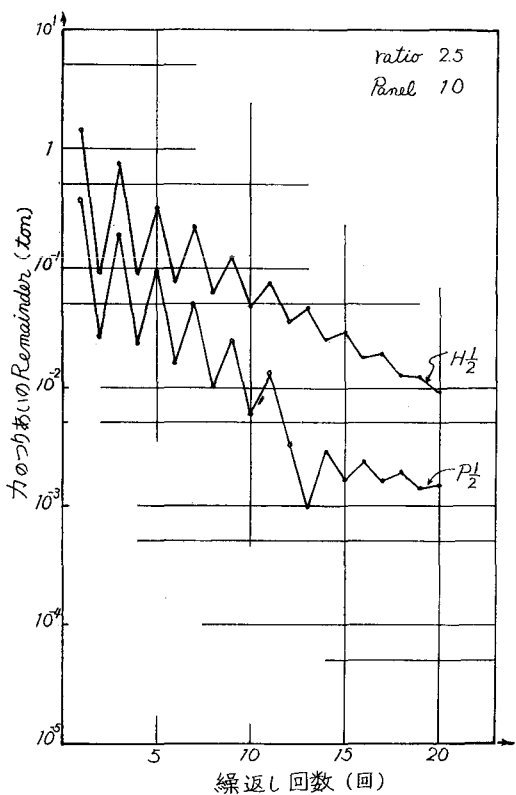
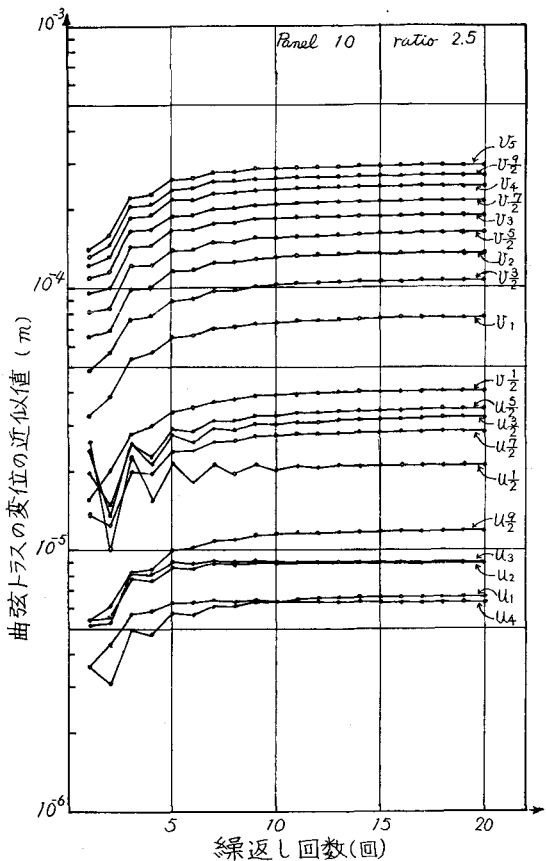


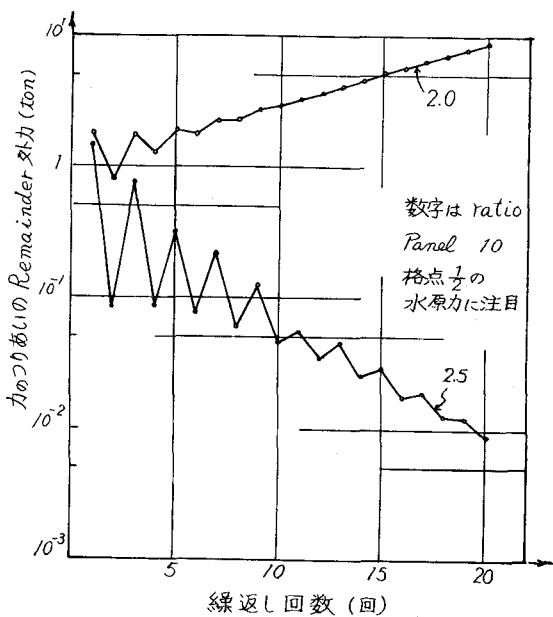
図-6 ratio の違いによる収斂の速さ



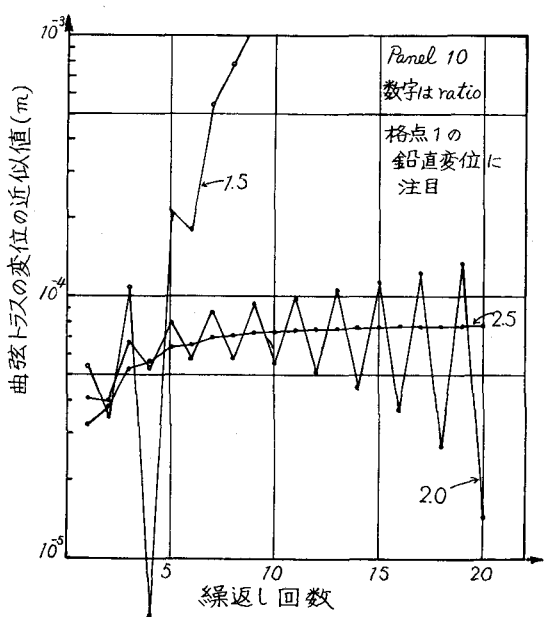
図一7 格点 $\frac{1}{2}$ の水平と鉛直方向の Remainder の減少の様子



図一8 各格点の変位の近似の速さ



図一9 ratio の違いによる Remainder の減少と増加



図一10 ratio の違いによる近似の収斂と発散

されるといえる。

計算を行なった ratio の中で、最も収斂の速い ratioにおいて、部材力について、収束値に対する誤差が 5 % 以内には、4 回の繰返しで、また 1 % 以内には、6 回の繰返しで達した。変位について、収斂値に対する誤差が 5 % 以内には、収斂の最も遅い格点 2 の鉛直変位において、6 回収斂の最も速い格点 2 の鉛直変位において、4 回の繰返しで、また、1 % 以内になるのは、前者において、9 回、後者において、6 回の繰返しで達した。しかし、この ratio より、収斂のより速い ratio の平行弦トラスが、存在するはずであり、以上の結果より少ない回数で変位、部材力とも収斂すると思う。

6. む す び

以上、最も簡単な例題として、曲弦ワーレントラスを本方法で解析したが、Ⅱの構造物のスチフェスマトリックスの逆マトリックスを求めて解く普通の方法における計算の際の配列の core 数は、 n を格間数とすると、対角要素の付近のある幅をとると、 $48 \times n + 24$ 元を要し、この方法では、 $40 \times n + 8$ 元であった。

参 考 文 献

- 1) S.G.Nomachi : A Note of Finite Fourier Transforms Concerning Finite Integration (Trans. mem. M.I.T. Vol. 5 No. 2)